

# ANÁLISE DE CONFIABILIDADE DE UMA VIGA PRÉ-MOLDADA PROTENDIDA DE UMA PONTE DIMENSIONADA NO ESTADO LIMITE DE SERVIÇO PELA NORMA BRASILEIRA

Rodrigo Augusto Maciel <sup>1</sup>; Pedro Henrique Cerento de Lyra <sup>2</sup>

<sup>1</sup> Aluno de Iniciação Científica da Escola de Engenharia Mauá (EEM/CEUN-IMT);

<sup>2</sup> Professor Assistente da Escola de Engenharia Mauá (EEM/CEUN-IMT).

**Resumo.** *O presente trabalho aborda a análise de confiabilidade de uma viga protendida, na situação de estado limite de serviço, baseado no projeto padrão de uma ponte com vão de 40 metros do Departamento de Estradas e Rodagem (DER). Através do estudo de métodos estatísticos e da modelagem numérica, pode-se verificar a segurança estrutural. Já definido o sistema estrutural da ponte e considerando as solicitações geradas pelo seu peso próprio e cargas variáveis, definidas através do software LIP, foi possível realizar diversas simulações no Microsoft Excel, utilizando o Método de Monte Carlo Cru, que resultaram em probabilidades de falhas ou sucesso. E com esses resultados foi feita uma análise de confiabilidade estrutural comparando os índices de confiabilidade estabelecidos por normas ou comitês internacionais e sua respectiva probabilidade de falha, podendo concluir se a ponte teria um risco alto, médio ou baixo para ruptura. Para todos os casos estudados o valor do índice de confiabilidade ficou acima do valor alvo para estruturas com custo relativo alto da medida de segurança.*

## Introdução

Atualmente, o diferencial de um engenheiro civil é elaborar um projeto seguro e com o menor custo possível, porém não se tem a certeza de que os materiais utilizados e o modo de execução dos mesmos vão se comportar de acordo com suas características teóricas. Com isso um projeto de engenharia civil não depende apenas do projeto em si e sim das finitas variáveis que as rodeiam desde a elaboração até a execução. Então, faz-se necessário o estudo da probabilidade de falha do projeto envolvendo as finitas variáveis.

Uma ponte é um componente importante para o transporte, assim, se houver uma falha, poderá acarretar em diversos problemas financeiros e sociais, por essa razão, é necessário o estudo da segurança destas estruturas. Sabendo que o custo empregado em uma estrutura 99% segura é muito maior que uma estrutura 95% segura, deve-se combinar segurança com economia.

O estudo da segurança é avaliado através da confiabilidade, tanto para o estado limite de serviço (ELS) quanto para o estado limite último (ELU). Essa confiabilidade está relacionada com o grau de confiança em que a estrutura suporta durante seu tempo de vida.

Não existe uma estrutura 100% segura, ou seja, sem falhas, devido à incerteza de sua constituição. Assim, para que haja confiança no método, é necessário uma qualidade nos parâmetros do modelo matemático usado para análise das equações de estado limite.

A necessidade de controlar amostras que garantissem a qualidade do produto oferecido ganhou grande importância no período pós revolução industrial, uma vez que os produtos começaram a ser produzidos em uma grande escala. Para isso, utilizou-se dos estudos estatísticos para identificar possíveis falhas no sistema. Com o avanço tecnológico, a utilização de programas computacionais possibilitou fazer diversas análises com uma precisão maior e uma economia de tempo e custo.

A Tabela 1 abaixo apresenta os estudos de confiabilidade nos últimos 10 anos que visa calibrar a norma e melhorar a utilização dos coeficientes de segurança.

Tabela 1 – Resumo de alguns estudos realizados na área da confiabilidade estrutural.

| <b>O que estudou</b>  | <b>Autor</b>               | <b>Ano</b> |
|---|----------------------------|------------|
| A não conformidade de concretos quanto à sua resistência a compressão   | Santiago                   | 2011       |
| O quanto a mudança de uma variável influencia no dimensionamento da estrutura   | Eraso                      | 2011       |
| Estudou a probabilidade de falha de cada elemento de forma isolada  | Santos                     | 2012       |
| Avaliaram o índice de confiabilidade ao considerar diferentes cargas aplicadas sobre vigas  | Nowak e Racokzy            | 2013       |
| A aplicação do método de confiabilidade sobre diversos aspectos do dimensionamento estrutural   | Souza                      | 2013       |
| Simularam um exercício de dimensionamento estrutural  | Froderberg e Thelandersson | 2014       |
| A relação da confiabilidade de estruturas com a sensibilidade do sistema quando é realizada a variação de parâmetros de dimensionamento | Moreira e Pantoja          | 2016       |

Fonte: Autor.

### Confiabilidade estrutural

A confiabilidade de uma estrutura é definida como a probabilidade que a estrutura não falhe ao desempenhar suas funções, (Nowak e Collins, 2013).

A confiabilidade depende da variabilidade de ocorrência, uma vez que há muitas incertezas. Esta pode ser definida como a probabilidade de os esforços resistentes serem menores que os esforços solicitantes, ou seja, havendo chance de ocorrer uma falha na estrutura, visto que a capacidade de carga do elemento não suporta a capacidade nele atuando. Sendo assim, estudou-se a probabilidade de falha da ponte em questão, utilizando o Método de Monte Carlo com o auxílio dos softwares AutoCAD, LIP e Excel.

### Monte Carlo Cru

Uma vez que o resultado esperado seja próximo da realidade, a simulação de Monte Carlo Cru gera um conjunto de amostras, que simulam diversas iterações, relatando o desempenho da estrutura em questão. Porém, a precisão do resultado obtido é suscetível ao tamanho da amostra, ou seja, quanto maior o tamanho da amostra, maior será a precisão do resultado.

Segundo Ribeiro (2009) por se tratar de uma técnica de amostragem, ela está sujeita a erros de amostragem, portanto para que seus resultados sejam mais precisos e confiáveis é necessário a

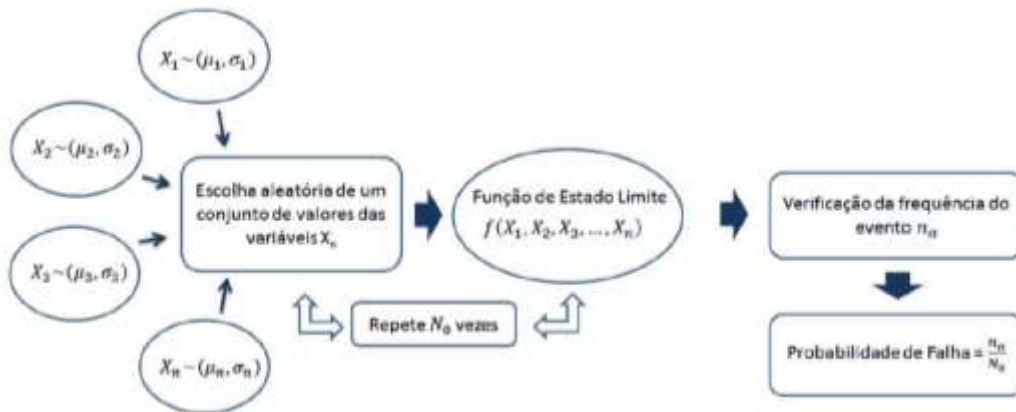
utilização de amostras com grande número de simulações. Portanto, foi realizado um pouco mais de 1.000.370 de simulações para que garantisse o resultado mais próximo da realidade.

Para o critério de segurança estar satisfeito é necessário que o resultado entre a relação da solicitação com a resistência seja maior que zero.

O método tem como objetivo gerar diversas amostras a partir de simulações, a fim de verificar a ocorrência de falha do evento com base no tamanho da amostra levando em consideração a média, variância e desvio padrão.

A figura 1 apresenta o fluxograma que dever ser realizado para utilizar o método de Monte Carlo.

Figura 1 – Fluxograma do Método de Monte Carlo.

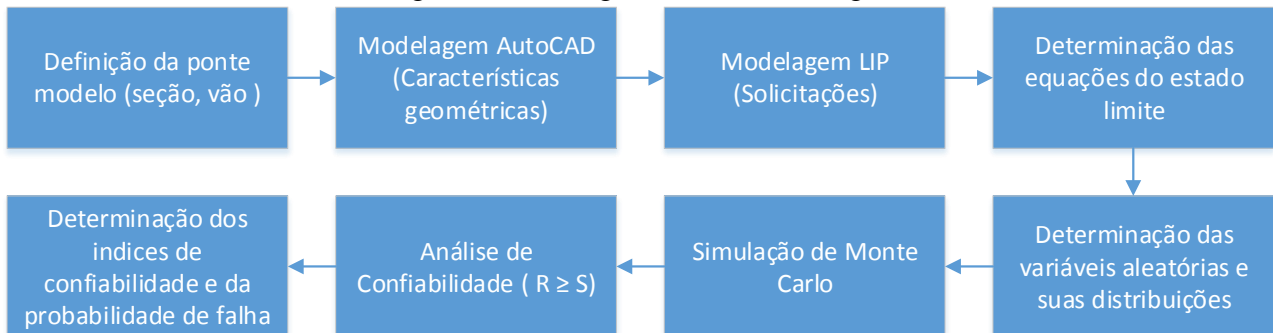


Fonte: Souza (2013).

## Materiais e Métodos

A figura 2 apresenta o fluxograma realizado para o trabalho.

Figura 2 – Fluxograma da Metodologia.

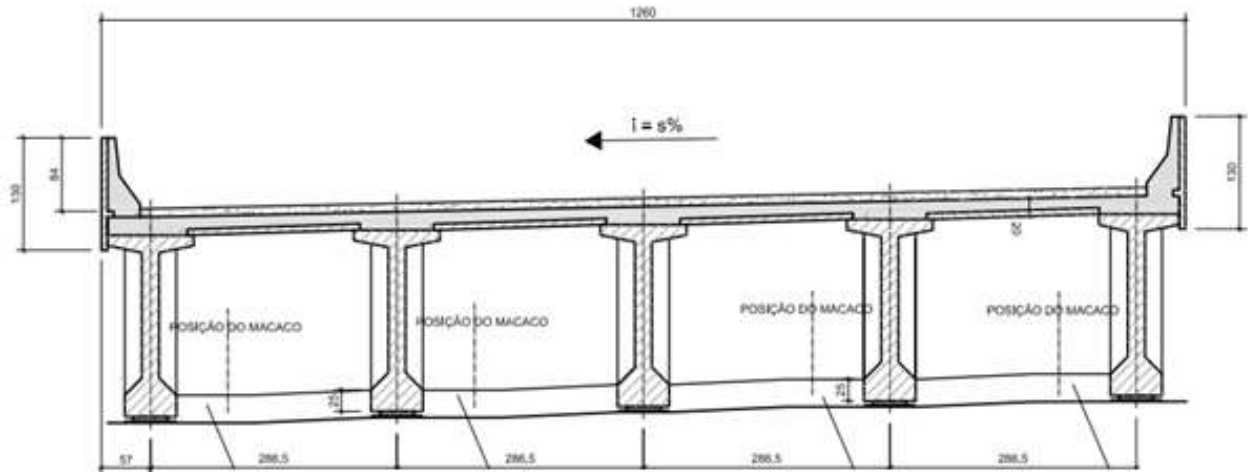


Fonte: Autor.

Preliminarmente, foi escolhida o projeto padrão do Departamento de Estradas e Rodagem (DER) dimensionada para carga móvel rodoviária padrão TB-450 da NBR 7188 - *Carga móvel rodoviária e de pedestres em pontes, viadutos, passarelas e outras estrutura*.

A superestrutura da ponte é composta por guarda rodas, pavimento, longarinas de concreto protendido, laje e transversinas de concreto armado, possui um vão longitudinal de 40 metros de comprimento e uma largura transversal de 12,60 metros. A figura 3 apresenta a seção transversal da ponte escolhida.

Figura 3 – Seção transversal da ponte. (Medidas em centímetros)



Fonte: DER

### Modelagem 2D no AutoCad

As características geométricas da seção transversal (área e momento de inércia) da ponte foram obtidas através pelo programa AutoCad.

### Modelagem numérica no software LIP

Com os dados das características geométricas, a ponte foi modelada no software LIP, utilizando carga móvel rodoviária padrão TB-450 da NBR 7188, para encontrar os esforços solicitantes.

O software LIP é fornecido pela empresa TQS e foi desenvolvido pelo engenheiro Sander David Cardoso Junior. É um software que determina os esforços solicitantes nas longarinas para as cargas permanentes e para a carga móvel de acordo com a NBR7188. A análise de distribuição transversal de cargas é feita pelos métodos Courbon/Engesser ou processo Fauchart, utilizados respectivamente para pontes com e sem transversinas intermediárias.

### Determinação das equações do estado limite

Abaixo são apresentadas as quatro equações do estado limite que serão utilizadas para a verificação da confiabilidade estrutural, sendo duas para o ato da protensão e duas para a situação de operação:

$$g_1(x) = -\sigma_{t,ato} + [(P_0 - \Delta P_i) \cdot \left(\frac{1}{A} - \frac{e_b}{W_{s,ato}}\right) + \frac{M_{pré}}{W_{s,ato}}] \quad \text{(Equação 1)}$$

$$g_2(x) = \sigma_{c,ato} - \left[ (P_0 - \Delta P_i) \cdot \left(\frac{1}{A} + \frac{e_b}{W_{i,ato}}\right) - \frac{M_{pré}}{W_{i,ato}} \right] \quad \text{(Equação 2)}$$

$$g_3(x) = \sigma_{c,ope} - \left[ (P_0 - \Delta P_i) \cdot \left(\frac{1}{A} - \frac{e_b}{W_{s,ato}}\right) + \frac{M_g}{W_{s,ato}} + \frac{M_q}{W_{s,ope}} \right] \quad \text{(Equação 3)}$$

$$g_4(x) = -\sigma_{t,ope} + \left[ (P_0 - \Delta P_i) \cdot \left(\frac{1}{A} - \frac{e_b}{W_{i,ato}}\right) - \frac{M_g}{W_{i,ato}} - \frac{M_q}{W_{i,ope}} \right] \quad \text{(Equação 4)}$$

Onde:

$\sigma_{c,ato}$  é a tensão admissível de compressão no ato da protensão;

$\sigma_{c,op}$  é a tensão admissível de compressão na operação;  
 $\sigma_{t,ato}$  é a tensão admissível de tração no ato da protensão;  
 $\sigma_{t,op}$  é a tensão admissível de tração na operação;  
 $P_0$  é a força de protensão inicial;  
 $e_b$  é a excentricidade do cabo;  
 $A$  é a área da seção transversal;  
 $W_{i,ato}$  é o módulo resistente à flexão da fibra inferior no ato da protensão;  
 $W_{s,ato}$  é o módulo resistente à flexão da fibra superior no ato da protensão;  
 $W_{i,op}$  é o módulo resistente à flexão da fibra inferior na operação;  
 $W_{s,op}$  é o módulo resistente à flexão da fibra superior na operação;  
 $\Delta P_i$  são as perdas imediatas da força de protensão;  
 $\Delta P_{inf}$  são as perdas totais da força de protensão;  
 $M_{pré}$  é o momento fletor devido ao peso próprio da viga pré-moldada;  
 $M_g$  é o momento fletor devido ao peso da ponte;  
 $M_q$  é o momento fletor devido as cargas variáveis;

#### Determinação das variáveis aleatórias e suas distribuições

Na Tabela 2 são apresentadas as variáveis aleatórias e suas respectivas distribuições utilizadas para este estudo.

A Distribuição Normal é bastante utilizada pois possui uma simetria em relação à média e uma curva em formato de sino. Seu valor máximo é onde a média, mediana e moda são concomitantes e por isso representa a distribuição de muitas variáveis aleatórias utilizadas no projeto.

A Distribuição de Gumbel está associada com valores máximos e mínimos de um determinado fenômeno, por isso ela melhor se encaixa na variável de momento fletor variável ( $M_q$ ).

Tabela 2 –Distribuição e valores das variáveis aleatórias.

| VÃO DE 40 METROS |                   |              |           |            |            |       |            |  |
|------------------|-------------------|--------------|-----------|------------|------------|-------|------------|--|
| V.A              | Unidade           | Distribuição | $\lambda$ | Valor      | $\mu$      | CV    | s          | Fonte                                  |
| $\sigma_{c,ato}$ | N/mm <sup>2</sup> | Normal       | 1,19      | 27         | 32,13      | 0,15  | 4,8195     | Santiago E Beck                        |
| $\sigma_{c,op}$  | N/mm <sup>2</sup> | Normal       | 1,19      | 35         | 41,65      | 0,15  | 6,2475     | Santiago E Beck                        |
| $\sigma_{t,ato}$ | N/mm <sup>2</sup> | Normal       | 1,03      | -4,0716    | -4,193748  | 0,183 | 0,76745588 | (Hueste et al.);(Bartlett e MacGregor) |
| $\sigma_{t,op}$  | N/mm <sup>2</sup> | Normal       | 1,01      | -4,4478    | -4,492278  | 0,183 | 0,82208687 | (Hueste et al.);(Bartlett e MacGregor) |
| $P_o$            | N                 | Normal       | 1         | 8425000    | 8425000    | 0,015 | 126375     | (Caprani, Mayer e Siamphukdee)         |
| $e_b$            | mm                | Normal       | 1         | 938        | 938        | 0,015 | 14,07      | (Caprani, Mayer e Siamphukdee)         |
| $A$              | mm <sup>2</sup>   | Normal       | 1         | 688000     | 688000     | 0,025 | 17200      | (Caprani, Mayer e Siamphukdee)         |
| $W_{i,ato}$      | mm <sup>3</sup>   | Normal       | 1         | 363000000  | 363000000  | 0,039 | 14157000   | (Caprani, Mayer e Siamphukdee)         |
| $W_{s,ato}$      | mm <sup>3</sup>   | Normal       | 1         | 365000000  | 365000000  | 0,038 | 13870000   | (Caprani, Mayer e Siamphukdee)         |
| $W_{i,op}$       | mm <sup>3</sup>   | Normal       | 1         | 476000000  | 476000000  | 0,044 | 20944000   | (Caprani, Mayer e Siamphukdee)         |
| $W_{s,op}$       | mm <sup>3</sup>   | Normal       | 1         | 992000000  | 992000000  | 0,073 | 72416000   | (Caprani, Mayer e Siamphukdee)         |
| $\Delta P_i$     | N                 | Normal       | 1         | 865000     | 865000     | 0,3   | 259500     | (JCSS)                                 |
| $\Delta P_{inf}$ | N                 | Normal       | 1         | 6566,6925  | 6566,6925  | 0,3   | 1970,00775 | (JCSS)                                 |
| $M_{pre}$        | N.mm              | Normal       | 1,03      | 3303776000 | 3402889280 | 0,08  | 272231142  | (Rakoczy e Nowak)                      |
| $M_g$            | N.mm              | Normal       | 1,05      | 6862230000 | 7205341500 | 0,05  | 360267075  | (Rakoczy e Nowak)                      |
| $M_q$            | N.mm              | Gumbel       | 1,615     | 4630450000 | 7478176750 | 0,18  | 1346071815 | (Rakoczy e Nowak)                      |

Fonte: Autor.

### Simulação de Monte Carlo

Conhecida as quatro equações do estado limite, utilizou-se o software Excel para fazer as simulações de Monte Carlo e encontrar a probabilidade de falha da ponte. Foi necessário o uso de um complemento do Excel o NtRand, para que a inversa da função da distribuição de Gumbel fosse habilitada para uso.

### Determinação do índice de confiabilidade e a probabilidade de falha

Utilizando o Software Excel e Monte Carlo, foi possível obter as probabilidades de falha pelas simulações através da Equação 4 e os índices de confiabilidades através da Equação 5.

$$P_f = \frac{n(g(X) \leq 0)}{N} \quad (\text{Equação 4})$$

$$\beta = \frac{E[g(X)]}{\sqrt{\text{Var}[g(X)]}} \quad (\text{Equação 5})$$

Sendo:

$n(g(X) \leq 0)$  é o número de ocorrências de falhas;  
 $N$  é o número de eventos;  
 $E[g(X)]$  é o valor esperado (média);  
 $Var[g(X)]$  é a variância da função de falha;

### Resultados e Discussão

A Tabela 3 apresenta as probabilidades de falha para cada equação do estado limite e o

Tabela 3 – Probabilidade de Falha.

|           | Número de Ocorrências De Falhas | Número de Eventos | Probabilidade de Falha |
|-----------|---------------------------------|-------------------|------------------------|
| <b>g1</b> | 54                              | 1.000.370         | 5,40E-05               |
| <b>g2</b> | 14.870                          | 1.000.370         | 1,49E-02               |
| <b>g3</b> | 102                             | 1.000.370         | 1,02E-04               |
| <b>g4</b> | 54.703                          | 1.000.370         | 5,47E-02               |

Fonte: Autor.

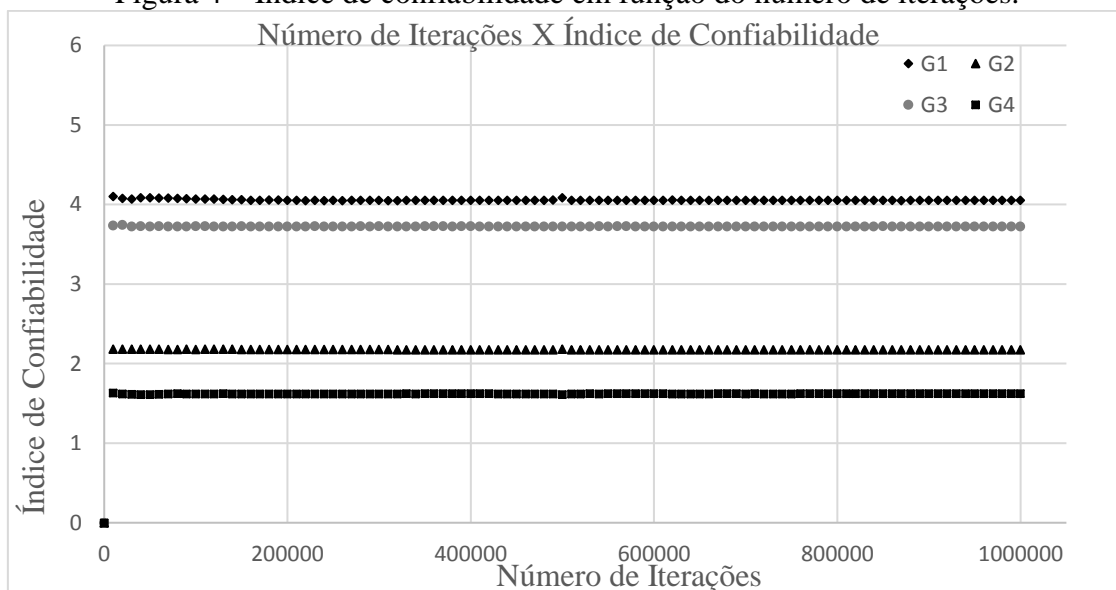
Tabela 4 – Índice de confiabilidade para as equações do estado limite utilizando o Método de Monte Carlo Cru.

|                      | <b>g1</b> | <b>g2</b> | <b>g3</b> | <b>g4</b> |
|----------------------|-----------|-----------|-----------|-----------|
| <b>Média</b>         | 5,069     | 10,962    | 23,731    | 2,901     |
| <b>Desvio Padrão</b> | 1,249     | 5,045     | 6,378     | 1,788     |
| <b>Beta</b>          | 4,058     | 2,173     | 3,721     | 1,622     |

Fonte: Autor.

O número de simulações é importante, pois o índice de confiabilidade é bem sensível com esse número, como é mostrado na Figura 4.

Figura 4 – Índice de confiabilidade em função do número de iterações.



Fonte: Autor.

Como o beta é mundialmente usado, existem valores de referência em normas e comitês internacionais. Abaixo é apresentado na Tabela 5 esses valores alvos.

Tabela 5 – Valores de Beta alvo

| Referência  | $\beta_{alvo}$ |
|---|----------------|
| EN1990:2002 – “ <i>Basis of structural design</i> ”         | 2,9            |
| JCSS 2000b (custo relativo alto da medida de segurança)     | 1,3            |
| JCSS 2000b (custo relativo moderado da medida de segurança) | 1,7            |
| JCSS 2000b (custo relativo baixo da medida de segurança)    | 2,3            |

## Conclusões

O estudo realizado neste trabalho foi especificamente para a seção do meio do vão de uma viga bi apoiada, porém, para outros sistemas estruturais podem ter casos mais críticos.

Ao analisar os valores de índice de confiabilidade somente G1 e G3 (Equações 1 e 3) apresentam valores maiores em relação ao valor de referência da EN1990:2022 (Tabela 8).

Já para o caso do custo relativo alto da medida de segurança da JCSS2000b, onde o valor de referência é igual a 1,30, todas as equações dos estados limites possuem valores maiores. Somente no caso do custo relativo moderado da medida de segurança, o caso G4 (equação 4) possui valor de beta menor que o preconizado pela JCSS2000b.

A adoção de distribuições diferentes para as variáveis aleatórias altera significativamente os valores de probabilidade de falha ou índice de confiabilidade.

## Referências Bibliográficas

ASSOCIAÇÃO BRASILEIRA DE NORMAS TÉCNICAS; (2014) *Projeto de estruturas de concreto - Procedimento - NBR 6118*. Rio de Janeiro, Brasil.

ASSOCIAÇÃO BRASILEIRA DE NORMAS TÉCNICAS; (2013) *Carga móvel rodoviária e de pedestres em pontes, viadutos, passarelas e outras estruturas - NBR 7188*. Rio de Janeiro, Brasil.

BARTLETT, F. M., AND J. G. MACGREGOR; (1996) *Statistical Analysis of the Compressive Strength of concrete in Structures*. ACI Materials Journal 93 (2): 158–168.

CAPRANI, C. C., MAYER M. M. E SIAMPHUKDEE K. *Reliability analysis of a Super-T prestressed concrete girder at serviceability limit state to AS 5100:2017*. Australian Journal of Structural Engineering.

JCSS. 2000b. *Probabilistic Model Code – Part 1*. Joint Committee on Structural Safety

NOWAK, A. S., e K. R. COLLINS; (2013) *Reliability of Structures*. 2nd ed. Boca Raton, FL: CRC Press.

RAKOCZY, A. M., E A. S. NOWAK; (2013) *Reliability-based Sensivity Analysis for Prestressed Concrete Girder Bridges*. PCI Journal.